

Programare cu variabile mixte în probleme de planificare a mișcării  
curs 5 - opțional SPER

---

Florin Stoican

15 martie 2022

- 1 Programare cu variabile mixte
- 2 Problema de optimizare cu orizont finit (MPC)

- 1 Programare cu variabile mixte
  - Motivație
  - Modelarea unui obstacol poliedral
  - Formularea logaritmică
  - Problema evitării obstacolelor
- 2 Problema de optimizare cu orizont finit (MPC)

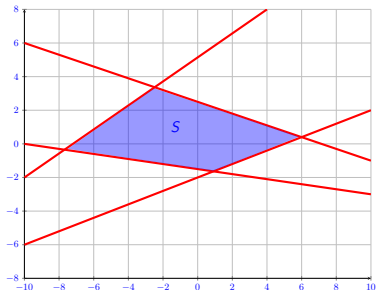
# Motivație

- Model matematic flexibil pentru formularea problemelor de decizie și reglare bazate pe optimizare
  - problemă de alocare combinatorială ("task assignment", "unit commitment")
  - problemă de rutare multi-cast
- Model matematic flexibil pentru formularea problemelor de evitare a coliziunilor care implică reglarea de sisteme multi-agenți
  - urmărirea traseului cu evitarea obstacolelor și a coliziunilor
  - controlul formațiunii cu evitarea coliziunilor
- Solver-e puternice și disponibile academic/comercial
  - CPLEX, OSL, etc.
- Baze teoretice puternice:
  - caracterizări speciale pentru cazuri particulare ("tight representations")
  - NP-hard în general, dar poate rezolva și multe probleme mari în practică

# MIP pentru un obstacol poliedral

Considerăm un obstacol poliedral

$$S = \{x \in \mathbb{R}^n : h_i x \leq k_i, i = 1 : N\}$$



Oricare dintre regiunile  $\mathcal{R}^-(\mathcal{H}_i)$  ce definesc  $\mathcal{C}(S)$  se poate obține printr-o alegere corectă a variabilelor binare

$$\mathcal{R}^-(\mathcal{H}_i) \longleftrightarrow (\alpha_1, \dots, \alpha_N)^i \triangleq (1, \dots, 1, \underbrace{0}_i, 1, \dots, 1)$$

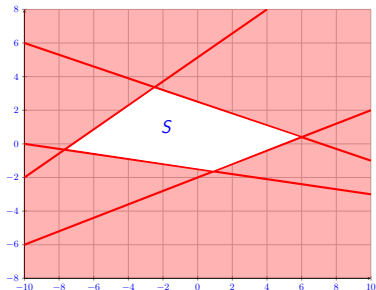
# MIP pentru un obstacol poliedral

Considerăm un obstacol poliedral

$$S = \{x \in \mathbb{R}^n : h_i x \leq k_i, i = 1 : N\}$$

și complementul lui  $S$

$$\mathcal{C}(S) \triangleq cl(\mathbb{R}^n \setminus S) = \bigcup_i \mathcal{R}^-(\mathcal{H}_i), \quad i = 1 : N$$



Oricare dintre regiunile  $\mathcal{R}^-(\mathcal{H}_i)$  ce definesc  $\mathcal{C}(S)$  se poate obține printr-o alegere corectă a variabilelor binare

$$\mathcal{R}^-(\mathcal{H}_i) \longleftrightarrow (\alpha_1, \dots, \alpha_N)^i \triangleq (1, \dots, 1, \underbrace{0}_i, 1, \dots, 1)$$

## MIP pentru un obstacol poliedral

Considerăm un obstacol poliedral

$$S = \{x \in \mathbb{R}^n : h_i x \leq k_i, \quad i = 1 : N\}$$

și complementul lui  $S$

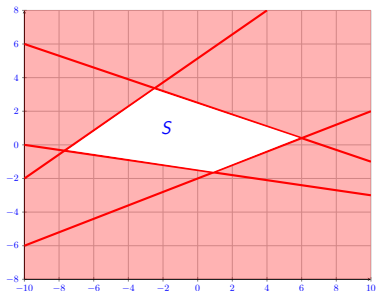
$$\mathcal{C}(S) \triangleq cl(\mathbb{R}^n \setminus S) = \bigcup_i \mathcal{R}^-(\mathcal{H}_i), \quad i = 1 : N$$

Definim  $\mathcal{C}(S)$  într-o formă pseudo-liniară

$$\begin{aligned} -h_i x &\leq -k_i + M\alpha_i, \quad i = 1 : N \\ \sum_{i=1}^{i=N} \alpha_i &\leq N - 1 \end{aligned}$$

cu  $(\alpha_1, \dots, \alpha_N) \in \{0, 1\}^N$

Oricare dintre regiunile  $\mathcal{R}^-(\mathcal{H}_i)$  ce definesc  $\mathcal{C}(S)$  se poate obține printr-o alegere corectă a variabilelor binare



## MIP pentru un obstacol poliedral

Considerăm un obstacol poliedral

$$S = \{x \in \mathbb{R}^n : h_i x \leq k_i, \quad i = 1 : N\}$$

și complementul lui  $S$

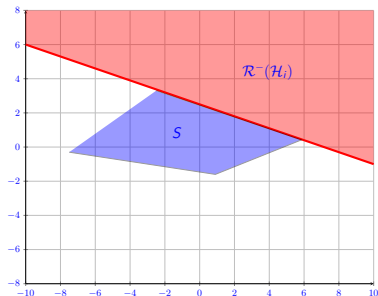
$$\mathcal{C}(S) \triangleq cl(\mathbb{R}^n \setminus S) = \bigcup_i \mathcal{R}^-(\mathcal{H}_i), \quad i = 1 : N$$

Definim  $\mathcal{C}(S)$  într-o formă pseudo-liniară

$$\begin{aligned} -h_i x &\leq -k_i + M\alpha_i, \quad i = 1 : N \\ \sum_{i=1}^{i=N} \alpha_i &\leq N - 1 \end{aligned}$$

cu  $(\alpha_1, \dots, \alpha_N) \in \{0, 1\}^N$

Oricare dintre regiunile  $\mathcal{R}^-(\mathcal{H}_i)$  ce definesc  $\mathcal{C}(S)$  se poate obține printr-o alegere corectă a variabilelor binare

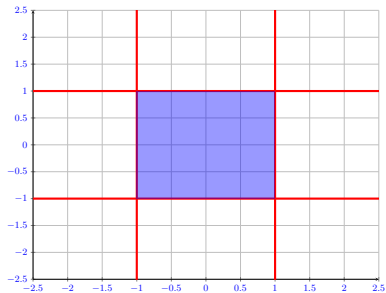




## Exemplu ilustrativ (pătrat)

Considerăm poliedrul  $P \subset \mathbb{R}^2$  dat de

$$\begin{bmatrix} -1 & 0 \\ 1 & 0 \\ 0 & -1 \\ 0 & 1 \end{bmatrix} x \leq \begin{bmatrix} 1 \\ 1 \\ 1 \\ 1 \end{bmatrix}$$

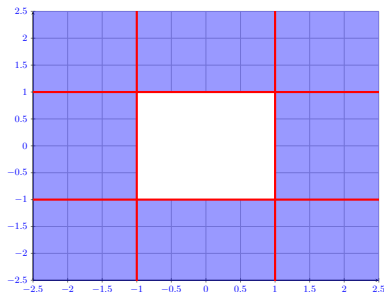


## Exemplu ilustrativ (pătrat)

și complementul său  $\mathcal{C}(P)$ , dat de

$$\begin{bmatrix} 1 & 0 \\ -1 & 0 \\ 0 & 1 \\ 0 & -1 \end{bmatrix} x \leq \begin{bmatrix} -1 + M\alpha_1 \\ -1 + M\alpha_2 \\ -1 + M\alpha_3 \\ -1 + M\alpha_4 \end{bmatrix}$$

în formularea cu variabile mixte clasică.



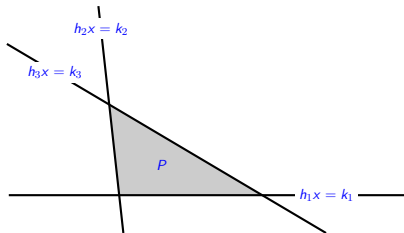
## Exemplu ilustrativ (triunghi)

Considerăm un triunghi în  $\mathbb{R}^2$  dat de

$$h_1x \leq k_1$$

$$h_2x \leq k_2$$

$$h_3x \leq k_3$$



## Exemplu ilustrativ (triunghi)

și complementul său

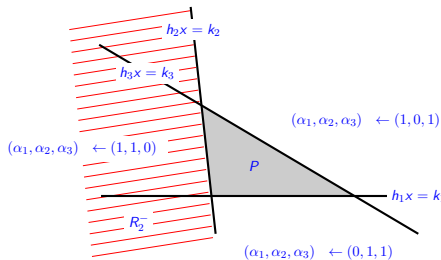
$$-h_1x \leq -k_1 + M\alpha_1$$

$$-h_2x \leq -k_2 + M\alpha_2$$

$$-h_3x \leq -k_3 + M\alpha_3$$

$$\alpha_1 + \alpha_2 + \alpha_3 \leq 2$$

în formularea **clasică** cu variabile mixte.



## Formularea logaritmică – idee

Chiar avem nevoie de  $N$  variabile binare pentru a reprezenta complementul unei regiuni convexe?

## Reprezentare logaritmică

Pentru fiecare regiune  $\mathcal{R}^-(\mathcal{H}_i)$  o combinație unică de variabile binare  $\lambda^i \in \{0, 1\}^{\lceil \log_2 N \rceil}$  este asociată. Apoi, funcțiile afine  $\alpha_i : \{0, 1\}^{\lceil \log_2 N \rceil} \rightarrow \{0\} \cup [1, \infty)$  sunt construite:

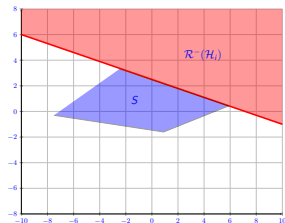
$$\alpha_i(\lambda) = \sum_{k=0}^{\lceil \log_2 N \rceil} \left( \lambda_k^i + (1 - 2\lambda_k^i) \cdot \lambda_k \right).$$

$\lambda_k$  denotă a  $k$ -a componentă a lui  $\lambda$  și  $\lambda_k^i$  este valoarea asociată regiunii  $\mathcal{R}^-(\mathcal{H}_i)$ :

$$\alpha_i(\lambda) = \begin{cases} 0, & \text{doar dacă } \lambda = \lambda^i \\ \geq 1, & \text{pentru oricare } \lambda \neq \lambda^i \end{cases}$$

ceea ce conduce la formularea compactă

$$\begin{aligned} -h_i x &\leq -k_i + M\alpha_i(\lambda), \quad i = 1 : N, \\ 0 &\leq \beta_i(\lambda). \end{aligned}$$



## Tupluri interzise

În reprezentarea mixtă interzicem tuplurile care descriu obstacolul:

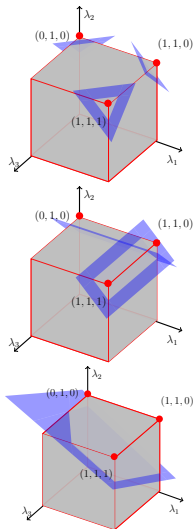
- în formularea clasică forțăm ca cel puțin o constrângere să fie activă:

$$\sum_{i=1}^{i=N} \alpha_i \leq N - 1$$

- în formularea logaritmică
  - constrângeri multiple pentru a interzice tupluri  
Prodan, Stoican, Olaru și Niculescu 2012

$$0 < \beta_I(\lambda)$$

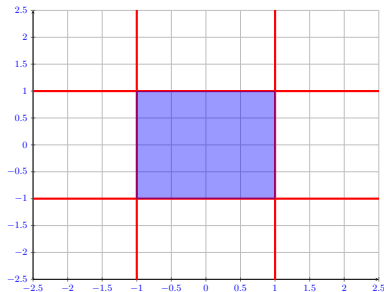
- dacă tuplurile alocate sunt ordonate consecutiv este suficientă o singură constrângere Afonso și Galvão 2013



## Exemplu ilustrativ (pătrat)

Considerăm poliedrul  $P \subset \mathbb{R}^2$  dat de

$$\begin{bmatrix} -1 & 0 \\ 1 & 0 \\ 0 & -1 \\ 0 & 1 \end{bmatrix} x \leq \begin{bmatrix} 1 \\ 1 \\ 1 \\ 1 \end{bmatrix}$$



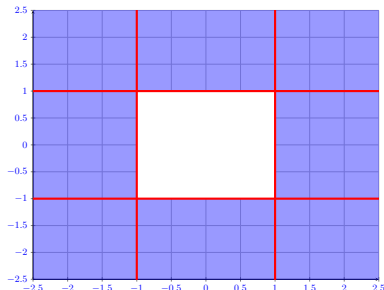


## Exemplu ilustrativ (pătrat)

și complementul său  $\mathcal{C}(P)$ , dat de

$$\begin{bmatrix} 1 & 0 \\ -1 & 0 \\ 0 & 1 \\ 0 & -1 \end{bmatrix} x \leq \begin{bmatrix} -1 + M\alpha_1 \\ -1 + M\alpha_2 \\ -1 + M\alpha_3 \\ -1 + M\alpha_4 \end{bmatrix}$$

în formularea MI clasică.

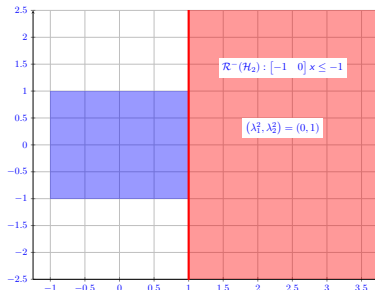


## Exemplu ilustrativ (pătrat)

și complementul său  $\mathcal{C}(P)$ ,

$$\begin{bmatrix} 1 & 0 \\ -1 & 0 \\ 0 & 1 \\ 0 & -1 \end{bmatrix} x \leq \begin{bmatrix} -1 + M(\lambda_1 + \lambda_2) \\ -1 + M(1 - \lambda_1 + \lambda_2) \\ -1 + M(1 + \lambda_1 - \lambda_2) \\ -1 + M(2 - \lambda_1 - \lambda_2) \end{bmatrix}$$

în formularea MI **redușă**.



În reprezentarea redusă (logaritmică) doar  $N_0 = \lceil \log_2 4 \rceil = 2$  sunt necesare.

Pentru regiunea  $\mathcal{R}^-(\mathcal{H}_2)$  asociem tuplul  $(\lambda_1^2, \lambda_2^2) = (0, 1)$  ce conduce la relația

$$\alpha_2 = 1 + \lambda_1 - \lambda_2$$

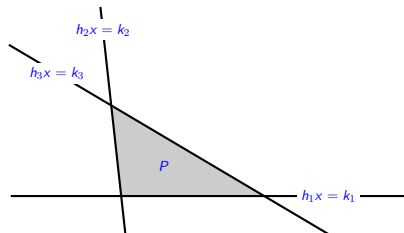
## Exemplu ilustrativ (triunghi)

Considerăm un triunghi  $\mathbb{R}^2$  dat de

$$h_1x \leq k_1$$

$$h_2x \leq k_2$$

$$h_3x \leq k_3$$



## Exemplu ilustrativ (triunghi)

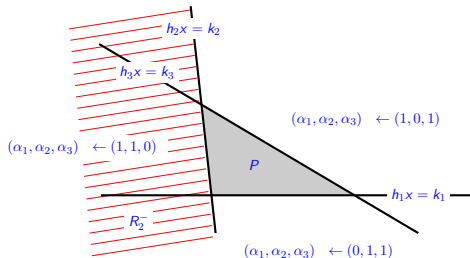
și complementul său

$$-h_1x \leq -k_1 + M\alpha_1$$

$$-h_2x \leq -k_2 + M\alpha_2$$

$$-h_3x \leq -k_3 + M\alpha_3$$

în formularea MI **clasică**.



## Exemplu ilustrativ (triunghi)

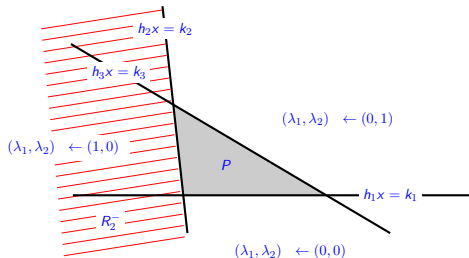
și complementul său

$$-h_1x \leq -k_1 + M(\lambda_1 + \lambda_2)$$

$$-h_2x \leq -k_2 + M(1 - \lambda_1 + \lambda_2)$$

$$-h_3x \leq -k_3 + M(1 + \lambda_1 - \lambda_2)$$

în formularea MI **redușă**.



În reprezentarea redusă, doar  $N_0 = \lceil \log_2 3 \rceil = 2$  variabile binare sunt necesare.

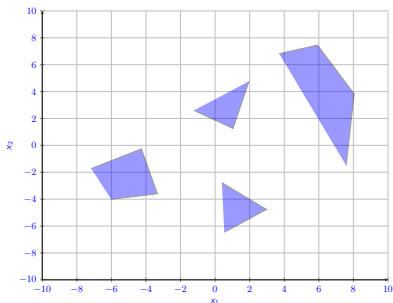
Pentru regiunea  $\mathcal{R}^-(\mathcal{H}_2)$  asociem tuplul  $(\lambda_1^2, \lambda_2^2) = (1, 0)$  ce conduce la relația

$$\alpha_2(\lambda) = 1 - \lambda_1 + \lambda_2$$

## Regiuni ne-conectate și neconvexe

Considerăm complementul  $\mathcal{C}(\mathbb{S}) = cl(\mathbb{R}^n \setminus \mathbb{S})$  unei uniuni de regiuni poliedrale  $\mathbb{S} = \bigcup_i S_i$

$$\mathcal{A}(\mathbb{H}) = \bigcup_{l=1, \dots, \gamma(N)} \underbrace{\left( \bigcap_{i=1}^N R^{\sigma_l(i)}(\mathcal{H}_i) \right)}_{A_l}$$

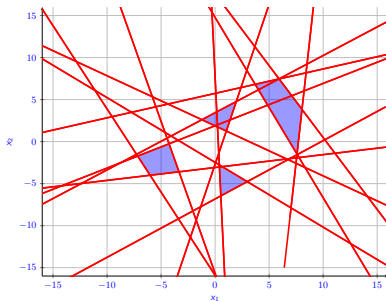


<sup>0</sup>Prodan I., Stoican F., Olaru S. and Niculescu S-I. (2016): Mixed-Integer Representations in Control Design, SpringerBriefs in Control, Automation and Robotics Series, Springer.

## Regiuni ne-conectate și neconvexe

Considerăm complementul  $\mathcal{C}(\mathbb{S}) = cl(\mathbb{R}^n \setminus \mathbb{S})$  unei uniuni de regiuni poliedrale  $\mathbb{S} = \bigcup_I S_I$

$$A_I \begin{cases} \vdots \\ \sigma_I(1)h_1x & \leq \sigma_I(1)k_1 + M\alpha_I(\lambda) \\ \vdots \\ \sigma_I(N)h_Nx & \leq \sigma_I(N)k_N + M\alpha_I(\lambda) \\ \vdots \\ 0 & \leq \beta_I(\lambda) \end{cases}$$



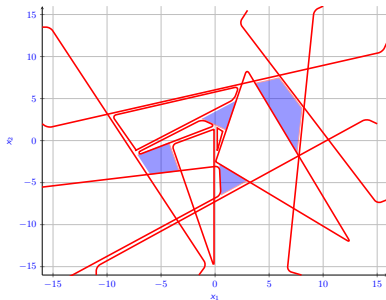
Folosind hiperplanele  $\mathcal{H}_i$  partiționăm spațiul în celule distincte  $A_I$  cărora le asociem o combinație liniară de variabile binare  $\alpha_I(\lambda)$ .

<sup>0</sup>Prodan I., Stoican F., Olaru S. and Niculescu S-I. (2016): Mixed-Integer Representations in Control Design, SpringerBriefs in Control, Automation and Robotics Series, Springer.

## Regiuni ne-conectate și neconvexe

Considerăm complementul  $\mathcal{C}(\mathbb{S}) = cl(\mathbb{R}^n \setminus \mathbb{S})$  unei uniuni de regiuni poliedrale  $\mathbb{S} = \bigcup_I S_I$

$$A_I \begin{cases} \vdots \\ \sigma_I(1)h_1x & \leq \sigma_I(1)k_1 + M\alpha_I(\lambda) \\ \vdots \\ \sigma_I(N)h_Nx & \leq \sigma_I(N)k_N + M\alpha_I(\lambda) \\ \vdots \\ 0 \leq \beta_I(\lambda) \end{cases}$$



Numărul de celule poate fi redus prin operații de uniune ("merging").

<sup>0</sup>Prodan I., Stoican F., Olaru S. and Niculescu S-I. (2016): Mixed-Integer Representations in Control Design, SpringerBriefs in Control, Automation and Robotics Series, Springer.



## Problema evitării obstacolelor

Considerăm un agent al cărui model este dat de:

$$x(k+1) = Ax(k) + Bu(k), \quad y(k) = Cx(k),$$

cu  $x(k) \in \mathbb{R}^n$ ,  $u(k) \in \mathbb{R}^m$  și  $y(k) \in \mathbb{R}^p$ , starea, intrarea și ieșirea agentului.

Condiția de evitare a coliziunii:

Pentru orice obstacol  $S_l$  și un agent caracterizat de starea sa dinamică  $x(k)$ , avem:

$$\{x(k)\} \cap S_l = \emptyset, \quad \forall l = 1 \dots N_o.$$

---

<sup>0</sup>(Stoican et al., ECC'13)

## Problema evitării obstacolelor

Considerăm un agent al cărui model este dat de:

$$x(k+1) = Ax(k) + Bu(k), \quad y(k) = Cx(k),$$

cu  $x(k) \in \mathbb{R}^n$ ,  $u(k) \in \mathbb{R}^m$  și  $y(k) \in \mathbb{R}^p$ , starea, intrarea și ieșirea agentului.

Reprezentare MI a spațiului:

- 14 hiperplane
- 106 regiuni obținute prin partiționarea spațiului
- 10 celule ce descriu regiunile interzise
- 96 celule ce descriu regiunile permise
- $N_0 = 12$  numărul de variabile binare

---

<sup>0</sup>(Stoican et al., ECC'13)

## Problema evitării obstacolelor

Considerăm un agent al cărui model este dat de:

$$x(k+1) = Ax(k) + Bu(k), \quad y(k) = Cx(k),$$

cu  $x(k) \in \mathbb{R}^n$ ,  $u(k) \in \mathbb{R}^m$  și  $y(k) \in \mathbb{R}^p$ , starea, intrarea și ieșirea agentului.

Rezolvă o problemă MIQP cu orizont de predicție finit:

$$u^* = \arg \min_{u(k), \dots, u(k+N_p-1)} \sum_{i=0}^{N_p-1} \|x(k+i+1)\|_Q + \|u(k+i)\|_R,$$

$$\text{s.t. } x(k+i+1) = Ax(k+i) + Bu(k+i),$$

$$y(k+i) \in \mathcal{Y}, \quad u(k+i) \in \mathcal{U},$$

$$x(k+i+1) \notin \mathbb{S}, \quad i = 1 \dots N_o.$$

---

<sup>0</sup>(Stoican et al., ECC'13)

## Exemplu de evitare a obstacolelor și a coliziunii

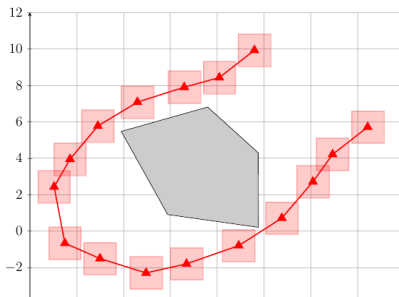
### Condiții de evitare a coliziunii:

- ① pentru orice obstacol  $S_l$  și orice agent caracterizat prin starea sa dinamică  $x_i(k)$  și regiunea de siguranță asociată  $S_i^a$ , condițiile de evitare a coliziunii sunt:

$$(\{x_i(k)\} \oplus S_i^a) \cap S_l = \emptyset, \quad \forall i = 1 \dots N_a, \quad \forall l = 1 \dots N_o.$$

- ② pentru oricare doi agenți caracterizați prin stările lor dinamice  $x_i(k)$ ,  $x_j(k)$  și regiunile lor de siguranță asociate  $S_i^a$ ,  $S_j^a$ , condițiile de evitare a coliziunii sunt:

$$(\{x_i(k)\} \oplus S_i^a) \cap (\{x_j(k)\} \oplus S_j^a) = \emptyset, \quad \forall i, j = 1 \dots N_a, \quad i \neq j.$$



## Exemplu de evitare a obstacolelor și a coliziunii

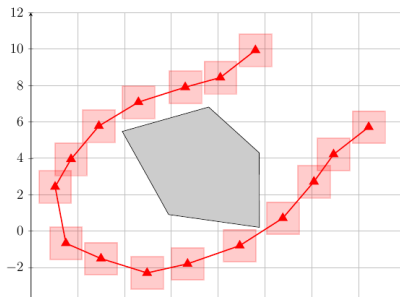
### Condiții de evitare a coliziunii:

- ① pentru orice obstacol  $S_l$  și orice agent caracterizat prin starea sa dinamică  $x_i(k)$  și regiunea de siguranță asociată  $S_i^a$ , condițiile de evitare a coliziunii sunt:

$$x_i(k) \notin (\{-S_i^a\} \oplus S_l), \quad \forall i = 1 \dots N_a, \quad \forall l = 1 \dots N_o,$$

- ② pentru oricare doi agenți caracterizați prin stările lor dinamice  $x_i(k)$ ,  $x_j(k)$  și regiunile lor de siguranță asociate  $S_i^a$ ,  $S_j^a$ , condițiile de evitare a coliziunii sunt:

$$x_i(k) - x_j(k) \notin (\{-S_i^a\} \oplus S_j^a), \quad \forall i, j = 1 \dots N_a, \quad i \neq j.$$



- 1 Programare cu variabile mixte
- 2 Problema de optimizare cu orizont finit (MPC)
  - Descriere generală
  - Implementare pentru planificarea mișcării

# Despre MPC

Pros & cons pentru problema cu orizont finit (MPC – model predictive control):<sup>1</sup>

## Pros

- Suportă diverse clase de modele: e.g., (ne)liniar, stocastic, multi-variabil;
- Permite impunerea de constrângeri asupra stării/intrarilor/ieșirilor: de exemplu, constrângeri pe comandă;
- Conduce la o soluție optimă;
- Multe resurse...

## Cons

- Poate necesita optimizare online;
- Poate necesita calcule complexe  $\Rightarrow$  complicații în aplicații cu constrângeri de timp dificile.

---

<sup>1</sup> Cannon, M. „C21 Model Predictive Control”. În: *Lecture Notes, Oxford University, Oxford* (2016)

# Formularea generală, ca o problemă de optimizare discretă

Având:

- costul  $J(x_0, u) = \sum_{k=0}^N \ell(x_k, u_k)$ ,  $N \in \mathbb{N} \cup \{\infty\}$ ;
- modelul  $x_{k+1} = f(x_k, u_k)$  cu punct de plecare inițial  $x_0$ ;
- constrângerile  $x_k \in \mathcal{X}$  și  $u_k \in \mathcal{U}$ , pentru  $k \in \mathbb{N}$ ,  $x_N \in \mathcal{X}_N$ ;

Problema cu orizont finit (MPC) este<sup>2</sup>:

$$\begin{aligned} u^* &= \arg \min_u J(x_0, u) \\ \text{s.t. } x_{k+1} &= f(x_k, u_k) \\ x_k &\in \mathcal{X}, u_k \in \mathcal{U}, x_N \in \mathcal{X}_N \end{aligned}$$

---

<sup>2</sup> Levine, W. S. „The essentials of model predictive control”. În: *Handbook of model predictive control*. 2019, pp. 3–27, 2019.



# Implementare pentru planificarea mișcării

$$\begin{aligned}
 \min_{u_k \dots u_{k+N-1}} & \sum_{i=1}^N (x_{k+i} - \bar{x})^\top (x_{k+i} - \bar{x}) + \sum_{i=0}^{N-1} u_{k+i}^\top u_{k+i} \\
 \text{s.t.} \quad & x_{k+i+1} = Ax_{k+i} + Bu_{k+i}, \\
 & |u_{k+i}| \leq \bar{u}, \\
 & |x_{k+i+1}| \leq \bar{x}, \\
 & x_{k+i+1} \notin P, \quad \forall i = 1 : N.
 \end{aligned}$$

- se definesc costuri ce se doresc minimizate (efortul de-a lungul traiectoriei:  $u_{k+i}^\top u_{k+i}$ , distanța față de destinație  $(x_{k+i} - \bar{x})^\top (x_{k+i} - \bar{x})$ , etc.);
- se forțează respectarea constrângerilor (pe intrare:  $|u_{k+i}| \leq \bar{u}$ , pe stare:  $|x_{k+i+1}| \leq \bar{x}$ , **de evitarea a obstacolelor**:  $x_{k+i+1} \notin P$ );
- se aplică constrângerile și costul pe un orizont de predicție finit (de lungime  $N$ ) iar din secvența de comenzi obținute  $\{u_k, \dots, u_{k+N-1}\}$  se aplică doar prima,  $u_k$ ;
- se repetă pași anteriori incrementând indexul  $k \mapsto k + 1$ .

- [1] Afonso, R. J. și R. K. Galvão., „Comments on Enhancements on the Hyperplanes Arrangements in Mixed-Integer Programming Techniques”.În: *Journal of Optimization Theory and Applications* (2013), pp. 1–8, 2013.
- [2] Cannon, M., „C21 Model Predictive Control”.În: *Lecture Notes, Oxford University, Oxford* (2016).
- [3] Levine, W. S., „The essentials of model predictive control”.În: *Handbook of model predictive control*. 2019, pp. 3–27, 2019.
- [4] Prodan, I., F. Stoican, S. Olaru și S. Niculescu., „Enhancements on the Hyperplanes Arrangements in Mixed-Integer Techniques”.În: *Journal of Optimization Theory and Applications* 154.2 (2012), pp. 549–572, 2012. ISSN: 0022-3239.